

7. Онуфриев А. Т., Христианович С. А. Об особенностях турбулентного движения в вихревом кольце.— ДАН СССР, 1977, т. 229, № 1.
8. Владимиров В. А., Луговцов Б. А., Тарасов В. Ф. Подавление турбулентности в ядрах концентрированных вихрей.— ПМТФ, 1980, № 5.
9. Паттерман С. Гидродинамика сверхтекучей жидкости. М.: Мир, 1978.

УДК 533.6.011

## О САМОВОЗБУЖДАЮЩЕЙСЯ ОКРУЖНОЙ НЕРАВНОМЕРНОСТИ ПОТЕНЦИАЛЬНОГО ТЕЧЕНИЯ ЖИДКОСТИ ОКОЛО КРУГОВОЙ РЕШЕТКИ ПРОФИЛЕЙ

Е. С. Беляновский, В. Б. Курзин

(Москва, Новосибирск)

При течении жидкости через решетки турбомашин в ряде случаев имеет место явление самовозбуждения окружной неравномерности поля скоростей, вращающейся в сторону вращения решетки. К числу таких явлений относится вращающийся срыв, который возникает на определенных режимах в осевых турбомашинах. В радиальных решетках центробежных вентиляторов вращение поля скоростей замечено и описано еще Н. Е. Жуковским [1]. Недавно подобное явление обнаружено и при исследовании течения жидкости через круговую решетку [2]. Окружную неравномерность поля скоростей авторы этой работы моделируют смещением вихресточника из центра решетки. Однако механизм движения вихресточника ими не рассмотрен.

В данной работе указанная модель течения жидкости через плоскую круговую решетку замкнута с помощью уравнения движения вихресточника в поле скоростей, возмущенном профилями решетки. При этом вопрос о самовозбуждении окружной неравномерности сведен к задаче об устойчивости движения вихресточника.

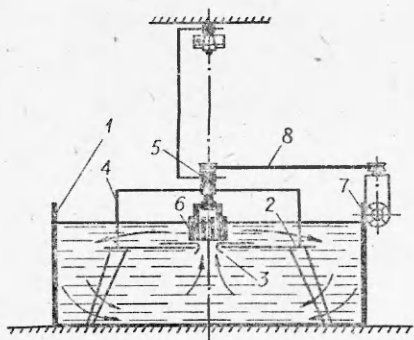
**1. Эксперимент.** Эксперимент проводился на гидрлотке, представляющем собой открытый бак диаметром 2 м и высотой 0,8 м (фиг. 1). В баке 1 установлен диск 2, имеющий в центре отверстие, в которое вставлен диффузор 3. На диске 2 установлена штанга 4, на которой смонтирован вал 5, вращающий решетку 6. Вращение вала осуществляется электродвигателем 7 через ременную передачу 8.

Визуализация характера течения осуществлялась посредством внесения в поток конфетти. На фиг. 2 приведены снимки, которые сделаны фотоаппаратом в неподвижном его положении (фиг. 2, а) и при синхронном с решеткой вращении (фиг. 2, б). На фотографиях хорошо видна окружная неравномерность поля скоростей, которая выражается, например, в различных углах натекания потока на профили. Отмечено, что эта неравномерность вращается с угловой скоростью, примерно в 50 раз меньшей скорости вращения решетки.

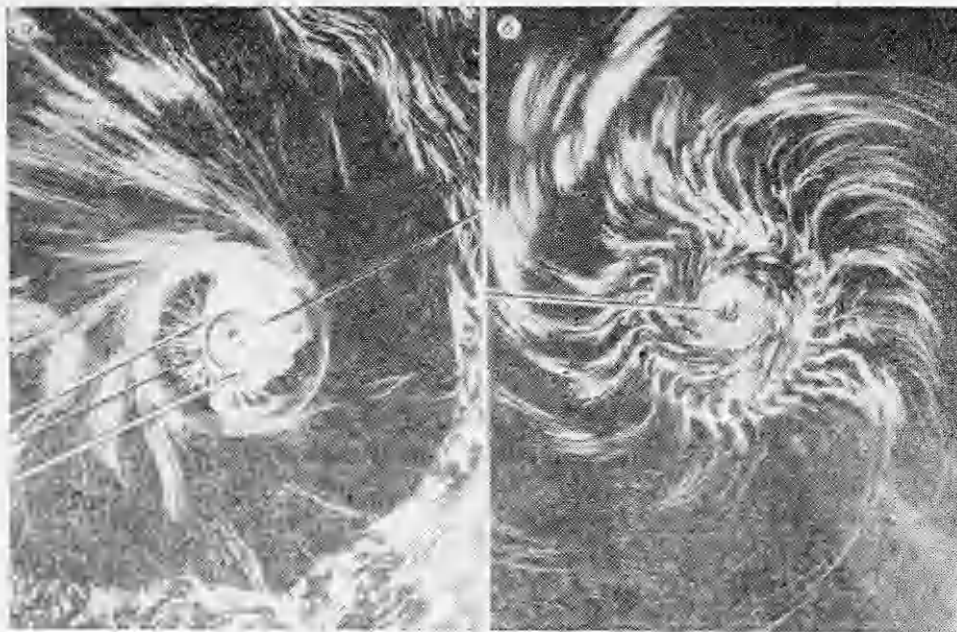
**2. Постановка задачи.** Рассмотрим плоское течение идеальной несжимаемой жидкости через круговую решетку, равномерно вращающуюся с угловой скоростью  $\omega$  (фиг. 3). Как известно, набегающий на круговую решетку поток жидкости обычно моделируется вихресточником, расположенным в центре решетки. Предположим, что случайное возмущение смещает его из центра в некоторое положение  $\epsilon_0$ . Тогда вихресточник начнет перемещаться со скоростью жидкости в той точке  $\epsilon(t)$ , с которой в данный момент совпадает его положение, т. е.

$$(2.1) \quad d\epsilon/dt = v(\epsilon).$$

Возникает вопрос, существует ли устойчивый предельный цикл движения вихресточника, удовлетворяющего уравнению (2.1). Эту задачу будем решать в предположении, что абсолютное движение жидкости вне вихре-



Ф и г. 1



Ф и г. 2

источника, вне профилей и вне вихревых следов, сбегающих с профилей, является потенциальным. Тогда комплексную скорость течения жидкости можно определить из выражения

$$\bar{v}(z) = \frac{q - i\Gamma_0}{2\pi(z - \varepsilon)} + \frac{\partial\varphi}{\partial x} - i \frac{\partial\varphi}{\partial y},$$

где  $q$ ,  $\Gamma_0$  — параметры, определяющие интенсивность вихреисточника;  $\varphi$  — гармоническая функция, удовлетворяющая следующим граничным условиям:

условиям непротекания жидкости через профили

$$(2.2) \quad \frac{\partial\varphi}{\partial\nu} = v_v^{(n)} - \frac{1}{2\pi} \operatorname{Re} \left[ \frac{(q - i\Gamma_0) v_0^{(n)}}{z - \varepsilon} \right], \quad (x, y) \in L_n \quad (n = 1, 2, \dots, N),$$

где  $v_0^{(n)}$  — орт внешней нормали к контуру  $n$ -го профиля  $L_n$ ;  $v_v^{(n)}$  — нормальная составляющая скорости движения точек контура  $n$ -го профиля;  $N$  — число профилей в решетке; динамическим и кинематическим условиям на вихревых следах

$$[p] = 0, \quad [\partial\varphi/\partial\nu_1] = 0, \quad (x, y) \in \mathcal{L}_n \quad (n = 1, 2, \dots, N),$$

где  $p$  — давление жидкости;  $\nu_1$  — направление нормали к линиям контактного разрыва  $\mathcal{L}_n$ , моделирующим вихревые следы; условию на бесконечности

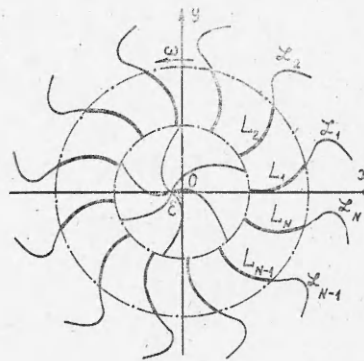
$$\lim_{|z| \rightarrow \infty} \nabla\varphi = 0;$$

условиям Кутта — Жуковского

$$\Delta\varphi < \infty, \quad (x, y) \in c_n \quad (n = 1, 2, \dots, N),$$

где  $c_n$  — координата задней кромки  $n$ -го профиля.

**3. Квазистационарное приближение для простейшей модели решетки.** Для определения поля скоростей течения жидкости в первом приближении профили решетки будем моделировать точечными



Ф и г. 3

вихрями, расположенными на одной четверти хорды, а условия непротекания через профили будем выполнять в точках профилей на расстоянии  $3/4$  хорд от их носика.

В квазистационарном приближении комплексная скорость течения жидкости для этой модели имеет выражение

$$(3.1) \quad \bar{v}(z) = \frac{q - i\Gamma_0}{2\pi} \frac{1}{z - \varepsilon} + \frac{1}{2\pi i} \sum_{n=1}^N \frac{\Gamma_n}{z - z_n},$$

где  $z_n = r \exp [i(\theta_n + \omega t)]$  — координаты точек расположения вихрей на профиле;  $\theta_n$  — их угловые координаты, при  $t = 0$   $\theta_n = \theta_1 + (2\pi/N)(n - 1)$ . Интенсивности вихрей  $\Gamma_n$  определяются из условия (2.2):

$$(3.2) \quad \operatorname{Re} [\bar{v}(z_m)v_0(z_m)] = \omega R \sin \alpha_1 \quad (m = 1, 2, \dots, N),$$

где  $z_m = R \exp [i(\varphi_m + \omega t)]$  — координаты контрольных точек профилей;  $v_0(z_m) = \exp [i(\alpha_m + \omega t)]$  — орты нормалей к профилям в этих точках;  $\varphi_m = (2\pi/N)(m - 1)$ ;  $\alpha_m = \alpha_1 + \varphi_m$ . Координату положения вихреисточника  $\varepsilon$  представим в виде

$$(3.3) \quad \varepsilon = \bar{r}\varepsilon e^{i\sigma}, \quad \sigma = \omega t - \sigma_1(t).$$

Тогда условие (3.2) с учетом (3.1) преобразуется следующим образом:

$$(3.4) \quad \operatorname{Re} \left\{ \frac{(q - i\Gamma_0) e^{i\alpha_1}}{1 - \bar{\varepsilon}r e^{-i(\varphi_m - \sigma_1)}} - i e^{i\alpha_1} \sum_{n=1}^N \frac{\Gamma_n}{1 - \bar{r} e^{i(\theta_n - \varphi_m)}} \right\} = 2\pi\omega R^2 \sin \alpha_1$$

$$(m = 1, 2, \dots, N; \quad \bar{r} = r/R).$$

Решение системы (3.4) может быть найдено в явном виде, если искомые значения интенсивности циркуляций  $\Gamma_n$  представить в виде тригонометрических полиномов:

$$(3.5) \quad \Gamma_n = \gamma_0 + \sum_{k=1}^{N-1} (a_k \cos k\theta_n + b_k \sin k\theta_n),$$

где  $\gamma_0$  — стационарная циркуляция, одинаковая для всех профилей;  $a_k(t)$ ,  $b_k(t)$  — функции времени, определяющие нестационарную составляющую циркуляций, возникающих вокруг профилей вследствие смещения вихреисточника.

В самом деле, разлагая дроби, входящие в выражение (3.4), в сходящиеся ряды и суммируя эти ряды, из (3.4) с учетом (3.5) получим

$$(3.6) \quad \operatorname{Re} \left\{ \frac{(q - i\Gamma_0) e^{i\alpha_1}}{1 - (\bar{\varepsilon}r e^{-i\sigma_1})^N} \left[ 1 + \sum_{k=1}^{N-1} (\bar{\varepsilon}r)^k e^{-ik(\sigma_1 + \varphi_m)} \right] - \right.$$

$$\left. - \frac{iNe^{i\alpha_1}}{2(1 - \bar{r}^N e^{i\theta_1 N})} \left[ 2\gamma_0 + \sum_{k=1}^{N-1} \bar{r}^{N-k} e^{i(k\varphi_m + N\theta_1)} (a_k - ib_k) + \right. \right.$$

$$\left. \left. + \sum_{k=1}^{N-1} \bar{r}^k e^{-ik\varphi_m} (a_k + ib_k) \right] \right\} = 2\pi\omega R^2 \sin \alpha_1 \quad (m = 1, 2, \dots, N).$$

После соответствующих преобразований из (3.6) имеем систему уравнений

$$(3.7) \quad \sum_{k=0}^{N-1} (B_k \cos k\varphi_m + C_k \sin k\varphi_m) = 2\pi\omega R^2 \sin \alpha_1 \quad (m = 1, 2, \dots, N),$$

из которых следует

$$(3.8) \quad B_0 = 2\pi\omega R^2 \sin \alpha_1, \quad B_k = C_k = 0 \quad (k \neq 0).$$

Из соотношений (3.8) в явном виде определяются значения  $\gamma_0$  и функции  $a_k(t)$ ,  $b_k(t)$ .

Для простоты вычислений рассмотрим предельный случай  $N \rightarrow \infty$ . Тогда из (3.8) получим

$$(3.9) \quad \gamma_0 = (1/N)(2\pi\omega R^2 - \Gamma_0 - q \operatorname{ctg} \alpha_1), \quad a_k = -(2\bar{\varepsilon}^k/N)(q \sin k\sigma_1 + \Gamma_0 \cos k\sigma_1), \quad b_k = -(2\bar{\varepsilon}^k/N)(q \cos k\sigma_1 - \Gamma_0 \sin k\sigma_1).$$

Подставляя выражения (3.9) в формулу (3.5), найдем

$$(3.10) \quad \Gamma_n = \gamma_0 - \frac{2}{N} \sum_{k=1}^{N-1} \bar{\varepsilon}^k [q \sin k(\sigma_1 + \theta_n) + \Gamma_0 \cos k(\sigma_1 + \theta_n)].$$

Таким образом, комплексная скорость течения жидкости может быть определена по формуле (3.1) с учетом (3.10) как функция положения вихреисточника. В частности, в самой этой точке она будет равна

$$(3.11) \quad \bar{v}(\varepsilon) = \frac{1}{2\pi i} \sum_{n=1}^N \frac{\Gamma_n}{\varepsilon - z_n} = \frac{e^{-i\omega t}}{2\pi i r} \sum_{n=1}^N \frac{1}{\bar{\varepsilon} e^{-i\sigma_1} - e^{i\theta_n}} \times \\ \times \left\{ \gamma_0 - \frac{2}{N} \sum_{k=1}^{N-1} \bar{\varepsilon}^k [q \sin k(\sigma_1 + \theta_n) + \Gamma_0 \cos k(\sigma_1 + \theta_n)] \right\}.$$

Разлагая дробь, входящую в выражение (3.11), в сходящийся ряд и суммируя его, найдем

$$\bar{v}(\varepsilon) = - \frac{\exp[-i(\omega t - \sigma_1)]}{\pi r} (q + i\Gamma_0) \frac{\bar{\varepsilon}}{1 - \bar{\varepsilon}^2}.$$

Подставляя значение скорости, комплексно-сопряженной к  $\bar{v}(\varepsilon)$ , в уравнение движения вихреисточника (2.1) и разделяя его действительную и мнимую части, с учетом (3.3) получим

$$(3.12) \quad d\bar{\varepsilon}/dt = -q\bar{\varepsilon}/(\pi r^2(1 - \bar{\varepsilon}^2));$$

$$(3.13) \quad \omega_0 = d\sigma/dt = \Gamma_0/(\pi r^2(1 - \bar{\varepsilon}^2)),$$

где  $\omega_0$  — скорость изменения угловой координаты вихреисточника. Из формулы (3.12) следует, что решение поставленной задачи в квазистационарном приближении для  $\bar{\varepsilon} < 1$  предельного цикла не имеет.

4. Учет влияния вихревых следов. Как будет видно из дальнейшего, подобно системе (3.12), (3.13) в рассматриваемом предельном случае  $N \rightarrow \infty$  соответствующая система обыкновенных дифференциальных уравнений автономна и с учетом влияния вихревых следов. Отсюда следует, что предельный цикл, если он существует, будет представлять собой окружность с центром в начале координат ( $\varepsilon = \text{const}$ ). При этом вихреисточник будет перемещаться вдоль траектории с постоянной угловой скоростью  $\omega_0$ , т. е. в выражении (3.3) величина  $\sigma = \omega_0 t$ . Из (3.3) также следует

$$(4.1) \quad \sigma_1(t) = \omega_1 t, \quad \text{где } \omega_1 = \omega - \omega_0 = \text{const}.$$

В соответствии с выражением (3.6) и с учетом (4.1) нестационарная составляющая комплексной скорости течения жидкости, индуцируемой вихреисточником в контрольных точках профилей, может быть представлена в виде суммы гармоник

$$(4.2) \quad \bar{v}(z_m) = \frac{q - i\Gamma_0}{2\pi r} \sum_{k=1}^{N-1} (\bar{\varepsilon}^k e^{-i\varphi_m})^k \exp(-ik\omega_1 t) \quad (m = 1, 2, \dots, N).$$

В силу линейности задачи нестационарные составляющие циркуляций на профилях решетки представим в виде суммы тех же гармоник аналогично (3.10):

$$(4.3) \quad \Gamma_n = - \frac{2}{N} \sum_{k=1}^{N-1} \delta_k \bar{\varepsilon}^k \{q \sin [k(\omega_1 t + \theta_n) + \beta_k] + \Gamma_0 \cos [k(\omega_1 t + \theta_n) + \beta_k]\},$$

где  $\delta_n$ ,  $\beta_n$  — амплитудный коэффициент и сдвиг фазы  $k$ -й гармоники, возникающие вследствие влияния вихревых следов.

Для определения значений  $\delta_n$  и  $\beta_n$  необходимо найти положение линий контактного разрыва  $\mathcal{F}_n$ , моделирующих вихревые следы, и интенсивность вихрей в этих следах в любой момент времени. С этой целью зададим положение некоторого свободного элементарного вихря, сбегаящего с  $n$ -го профиля, в виде

$$\zeta_n(\tau) = \rho(\tau) e^{i\psi_n(\tau)},$$

где  $\tau$  — параметр, определяющий промежуток времени, прошедший с момента отделения этого вихря от профиля. Предполагая, что присоединенные вихри  $n$ -го профиля сосредоточены в точке  $z_n = r \exp [i(\theta_n + \omega t)]$ , угловую координату свободного вихря можно определить по формуле

$$(4.4) \quad \psi_n(\tau) = \theta_n + \omega t - \omega\tau + \tilde{\psi},$$

где  $\tilde{\psi}$  — угол отклонения вихря за счет абсолютного движения его в окружном направлении.

Воспользовавшись выражениями для проекций абсолютной скорости движения вихря на радиальное и окружное направления

$$v_\rho = d\rho/d\tau = q/(2\pi\rho), \quad v_\psi = \rho d\tilde{\psi}/d\tau = (\Gamma_0 + N\gamma_0)/(2\pi\rho),$$

с учетом начальных условий  $\rho = r$ ,  $\tilde{\psi} = 0$  при  $\tau = 0$  найдем

$$(4.5) \quad q\tau/\pi = r^2(\bar{\rho}^2 - 1), \quad \tilde{\psi} = \bar{\Gamma}_0 \ln \bar{\rho},$$

где

$$\bar{\rho} = \rho/r; \quad \bar{\Gamma}_0 = (\Gamma_0 + N\gamma_0)/q.$$

С помощью (4.5) выражение (4.4) преобразуется к виду

$$(4.6) \quad \psi_n = \theta_n + \omega t - \bar{\psi}(\bar{\rho}),$$

где  $\bar{\psi} = (c/2)(\bar{\rho}^2 - 1) - \bar{\Gamma}_0 \ln \bar{\rho}$ ;  $c = (2\pi r^2 \omega)/q$ .

Зависимость (4.6) и представляет собой уравнение линии вихревого следа  $\mathcal{F}_n$ , сбегаящего с  $n$ -го профиля, для данного момента времени  $t$ .

Погонная интенсивность вихрей в следе, обусловленная изменением циркуляции вокруг  $n$ -го профиля по  $k$ -й гармонике, может быть определена по формуле [3]

$$(4.7) \quad \gamma_n^{(k)}(s, t) = -\frac{1}{v(s)} \frac{\partial \Gamma_n^{(k)}}{\partial t} \Big|_{t=t_1} \quad (t_1 = t - \tau),$$

где  $v(s)$  — относительная скорость вихрей в системе координат, жестко связанной с решеткой;  $s$  — дуговая координата вихревой линии.

Рассмотрим теперь выражение для интенсивности элементарного свободного вихря, имеющего дуговую координату  $s$ :

$$d\bar{\Gamma}_n^{(k)}(s) = \gamma_n^{(k)}(s) ds.$$

Так как  $ds = v(s)dt$ , то, учитывая, что  $s$  и  $\tau$  являются функциями параметра  $\rho$ , с помощью (4.5), (4.7) получим

$$d\bar{\Gamma}_n^{(k)}(\rho) = -\frac{2\pi\rho}{q} \frac{\partial \Gamma_n^{(k)}}{\partial t} \Big|_{t=t_1} d\rho = \tilde{\gamma}_n^{(k)}(\rho) d\rho.$$

Выражение для  $\tilde{\gamma}_n^{(k)}$  найдем с помощью (4.3):

$$\tilde{\gamma}_n^{(k)} = \frac{4\pi k \omega_z \bar{\varepsilon}^k \delta_k}{qN} \rho \{q \cos [k(\omega_1 t + \theta_n) + \beta_k] - \Gamma_0 \sin [k(\omega_1 t + \theta_n) + \beta_k]\}.$$

Таким образом, в результате проведенных преобразований положение вихревых следов и их погонная интенсивность определены как функции параметров  $\rho$  и  $t$ . Это позволяет достаточно просто определить нестационарную составляющую комплексной скорости течения жидкости с учетом вихревых следов. Для  $k$ -й гармоники присоединенных и свободных

вихрей всех профилей решетки она будет равна

$$\bar{v}^{(k)}(z) = \frac{1}{2\pi i} \sum_{n=1}^N \left[ \frac{\Gamma_n^{(k)}}{z - z_n} + \int_r^{\infty} \frac{\tilde{\gamma}_n^{(k)} d\rho}{z - \zeta(\rho)} \right].$$

Можно показать, что при  $N \rightarrow \infty$  комплексная скорость  $\bar{v}^{(k)}(z)$  будет стремиться к предельному ее значению, которое равно скорости, индуцируемой присоединенными и свободными вихрями, непрерывно распределенными по окружности, т. е.

$$(4.8) \quad \lim_{N \rightarrow \infty} \bar{v}^{(k)}(z) = \tilde{v}^{(k)}(z) = \frac{N}{(2\pi)^2 i} \oint \left[ \frac{\bar{\gamma}^{(k)}(\theta)}{z - r e^{i(\theta + \omega t)}} + \int_r^{\infty} \frac{\tilde{\gamma}(\theta, \rho) d\rho}{z - \rho e^{i(\theta + \omega t - \bar{\psi})}} \right] d\theta.$$

Здесь  $\bar{\gamma}^{(k)}(\theta)$  и  $\tilde{\gamma}(\theta, \rho)$  — непрерывные функции, совпадающие при  $\theta = \theta_n$  со значениями  $\frac{N}{2\pi r} \Gamma_n^{(k)}(\theta_n)$  и  $\frac{N}{2\pi r} \tilde{\gamma}^{(k)}(\theta_n)$ .

Вычисляя контурные интегралы в выражении (4.8) с помощью теории вычетов, найдем значения  $\tilde{v}^{(k)}$  в контрольных точках профилей:

$$(4.9) \quad \tilde{v}^{(k)}(z_m) = - \frac{\bar{\varepsilon}^k \bar{\delta}_k \exp[-i(\omega t + \varphi_m)]}{2\pi i r} \times \\ \times \left\{ \frac{q - i\Gamma_0}{\bar{R}^{k+1}} \exp[-ik(\omega_1 t + \varphi_m) - i\beta_k] (i - kc\bar{\omega}_1 A_1^{(k)}) + \right. \\ \left. + kc\bar{\omega}_1 (q + i\Gamma_0) \bar{R}^{k-1} \exp[ik(\omega_1 t + \varphi_m) + i\beta_k] A_2^{(k)} \right\},$$

где

$$(4.10) \quad A_1^{(k)} = \int_1^{\bar{R}} \bar{\rho}^{k+1} \exp \left\{ -ik \left[ \frac{c}{2} \bar{\omega}_0 (\bar{\rho}^2 - 1) - \bar{\Gamma}_0 \ln \bar{\rho} \right] \right\} d\bar{\rho}, \\ A_2^{(k)} = \int_{\bar{R}}^{\infty} \frac{1}{\bar{\rho}^{k+1}} \exp \left\{ ik \left[ \frac{c}{2} \bar{\omega}_0 (\bar{\rho}^2 - 1) - \bar{\Gamma}_0 \ln \bar{\rho} \right] \right\} d\bar{\rho} \\ \left( \bar{\omega}_0 = \frac{\omega_0}{\omega}, \quad \bar{\omega}_1 = \frac{\omega_1}{\omega}, \quad \bar{R} = \frac{R}{r} \right).$$

Введем обозначения

$$(4.11) \quad q - i\Gamma_0 = \bar{q} e^{-i\xi}, \quad A_1^{(k)} = g_1^{(k)} e^{i\eta_1^{(k)}}, \quad A_2^{(k)} = g_2^{(k)} e^{i\eta_2^{(k)}}.$$

Из условия непротекания (3.2) с учетом (4.2), (4.9) получим

$$(4.12) \quad \operatorname{tg} \beta_k = c\bar{\omega}_1 \left\{ \frac{g_1 \cos \eta_1 + g_2 \bar{R}^{2k} \cos(2\alpha_1 + \eta_2)}{1 - c\bar{\omega}_1 g_1 \sin \eta_1 + c\bar{\omega}_1 g_2 \bar{R}^{2k} \sin(2\alpha_1 + \eta_2)} \right\}^{(k)}, \\ \delta_k = \left\{ \frac{2}{\cos \beta_k + c\bar{\omega}_1 [g_1 \sin(\beta_k + \eta_1) + g_2 \bar{R}^{2k} \sin(2\alpha_1 + \eta_2 + \beta_k)]} \right\}^{(k)}.$$

Аналогично (4.9) найдем значения  $\tilde{v}^{(k)}$  в точке  $\varepsilon$ :

$$(4.13) \quad \tilde{v}^{(k)}(\varepsilon) = - \frac{r}{2} c \sqrt{1 + \operatorname{tg}^2 \xi} \delta_k b_k \bar{\varepsilon}^{2k-1} \exp[i(\beta_k + \gamma_k + \xi - \omega_0 t)],$$

$$\text{где } b_k e^{i\gamma_k} = 1 - ic\bar{\omega}_1 A_3^{(k)}; \quad A_3^{(k)} = \int_1^{\infty} \frac{1}{\bar{\rho}^{k-1}} \exp \left\{ ik \left[ \frac{c}{2} (\bar{\rho}^2 - 1) - \bar{\Gamma}_0 \ln \bar{\rho} \right] \right\} d\bar{\rho}.$$

Выражение (4.13) в совокупности с (4.10)–(4.12) определяет комплексную скорость, индуцируемую присоединенными и свободными вихрями, в точке расположения вихресточника как функцию координат этого положения и времени.

Суммируя все гармоники этой скорости и удовлетворяя уравнению (2.1), с учетом (3.3), (4.1) найдем соотношения, которым должны удовлетворять параметры предельного цикла  $\varepsilon$ ,  $\bar{\omega}_0$  с учетом влияния вихревых следов:

$$\sum_{k=1}^{N-1} \delta_k b_k \bar{\varepsilon}^{2(k-1)} \cos(\beta_k + \gamma_k + \xi) = 0,$$

$$\bar{\omega}_0 = \frac{c}{2} \sqrt{1 + \operatorname{tg}^2 \xi} \sum_{k=1}^{N-1} \delta_k b_k \bar{\varepsilon}^{2(k-1)} \sin(\beta_k + \gamma_k + \xi).$$

**5. Предельный цикл.** Покажем, что в рамках модели, рассмотренной в п. 4, предельный цикл движения вихреисточника существует, по крайней мере, при малых значениях его параметров

$$(5.1) \quad \bar{\omega}_0 \ll 1, \quad \bar{\varepsilon} \ll 1,$$

Предполагая, что  $\delta_k \sim 1$  и  $b_k \sim 1$  для  $k > 1$ , в первом уравнении можно ограничиться двумя членами суммы, а во втором — тремя. Тогда будем иметь

$$(5.2) \quad \bar{\varepsilon} \approx - \frac{\delta_1 b_1 \cos \chi_1}{\delta_2 b_2 \cos \chi_2} \quad (\chi_k = \beta_k + \gamma_k + \xi);$$

$$(5.3) \quad \bar{\omega}_0 \approx \frac{c}{2} \sqrt{1 + \operatorname{tg}^2 \xi} \left[ \delta_1 b_1 \frac{\sin(\chi_1 - \chi_2)}{\cos \chi_2} + \bar{\varepsilon}^4 \delta_3 b_3 \sin \chi_3 \right].$$

Здесь  $\delta_k$ ,  $\beta_k$ ,  $\gamma_k$  и  $\chi_k$  — функции искомой величины  $\bar{\omega}_0$  и исходных параметров  $c$ ,  $\bar{\Gamma}_0$ ,  $\alpha_1$  и  $\xi$ ,  $\bar{R}$ . Они определяются с помощью интегралов  $A_j^{(k)}$  (4.10), (4.13). Рассмотрим эти интегралы.

Пусть  $\bar{R} - 1 \ll 1$ . Тогда для  $A_1^{(k)}$  имеет место оценка

$$(5.4) \quad A_1^{(k)} \ll 1 \quad (k = 1, 2, 3).$$

Несобственные интегралы  $A_j^{(k)}$  ( $j = 2, 3$ ) вычисляются с помощью таблиц [4] и имеют вид

(5.5)

$$A_j^{(k)} = \frac{1}{2} \exp \left[ i \left( \frac{\pi}{2} \nu_k - \lambda_j^{(k)} \right) - \nu_k \ln(\lambda_j^{(k)}) \right] \Gamma(\nu_k, -i \bar{\rho}_j \lambda_j^{(k)}) \quad (k = 1, 2, 3),$$

где  $\Gamma(\nu, \lambda)$  — гамма-функция;

$$\nu_k = 1 - k(1 + i \bar{\Gamma}_0)/2; \quad \bar{\rho}_2 = \bar{R}^2; \quad \bar{\rho}_3 = 1;$$

$$\lambda_2^{(k)} = k c \bar{\omega}_0 / 2; \quad \lambda_3^{(k)} = k c / 2.$$

При этом выражения для  $A_2^{(k)}$  могут быть представлены приближенно как функции параметра  $\bar{\omega}_0$ :

$$(5.6) \quad A_2^{(1)} \approx \frac{1}{\sqrt{\bar{\omega}_0}} f_1 \exp \left( i \frac{\bar{\Gamma}_0}{2} \ln \bar{\omega}_0 \right), \quad A_2^{(2)} \approx f_2 \exp(i \bar{\Gamma}_0 \ln \bar{\omega}_0), \quad A_2^{(3)} \approx f_3,$$

где  $f_k$  — комплексные функции параметров  $c$  и  $\bar{\Gamma}_0$ . Значения же  $A_3^{(k)}$ , как и  $f_k$ , не зависят от параметра  $\bar{\omega}_0$ .

Учитывая (5.4), из (4.12) получим

$$(5.7) \quad \beta_k = \frac{\pi}{2} - 2\alpha_1 - \eta_2^{(k)} - \kappa_k, \quad \delta_k = \frac{2}{\cos \beta_k + c a_2^{(k)} \cos \kappa_k},$$

где  $\kappa_k = \arcsin \left( \frac{\sin \beta_k}{c a_2^{(k)}} \right)$ .

В случае  $c \sim 1$  из (5.5)–(5.7) следует, что

$$(5.8) \quad \kappa_1 \ll 1, \quad \delta_1 = 2 \sqrt{\bar{\omega}_0} / c |f_1|.$$

Если теперь (5.8) подставить в (5.2), (5.3), то получим

$$(5.9) \quad \bar{\varepsilon}^2 = -h_1 \sqrt{\bar{\omega}_0} \frac{\cos \chi_1}{\cos \chi_2};$$

$$(5.10) \quad \sqrt{\bar{\omega}_0} \left[ 1 - h_2 \left( \frac{\cos \chi_1}{\cos \chi_2} \right)^2 \right] = h_3 \frac{\sin(\chi_1 - \chi_2)}{\cos \chi_2},$$

где  $h_n$  — некоторые функции параметров  $c, \bar{\Gamma}_0$ . Далее, принимая во внимание, что  $\gamma_k$  не зависит от  $\bar{\omega}_0$ , с помощью (5.2) и (5.6)–(5.8) найдем

$$(5.11) \quad \chi_1 - \chi_2 = \chi_0 + \kappa_2 - (\bar{\Gamma}_0/2) \ln \bar{\omega}_0,$$

где  $\chi_0$  — некоторая ограниченная функция параметров  $c, \bar{\Gamma}_0$ .

Из (5.11) следует, что решение системы (5.9), (5.10) существует в широком диапазоне значений исходных параметров  $c, \bar{\Gamma}_0, \alpha_1$  и  $\xi$ , за исключением, быть может, некоторого дискретного их множества. Однако диапазон значений этих параметров ограничивается условием устойчивости предельного цикла, которое следует из (4.13) с учетом (5.1) и имеет вид  $\cos \chi_1 < 0$ .

Поступила 15 I 1982

#### ЛИТЕРАТУРА

1. Жуковский Н. Е. Вихревая теория гребного винта. Полн. собр. соч. Т. 6. М.—Л.: ОНТИ НКТП СССР, 1937.
2. Пухлий В. А., Беляновский Е. С., Хвоцевский И. Я. О математической модели обтекания решетки профилей центробежного вентилятора нестационарным дозвуковым потоком идеальной несжимаемой жидкости. Деп. ВНИИС. Библиогр. указ. депон. рукоп., № 3, 1981. № регистр. 2346.
3. Горелов Д. Н., Курзин В. Б., Сарен В. Э. Аэродинамика решеток в нестационарном потоке. Новосибирск: Наука, 1971.
4. Градштейн И. С., Рыжик И. М. Таблицы интегралов, сумм, рядов и произведений. М.: Физматгиз, 1962.

УДК 532.529.5

### КАЧЕСТВЕННОЕ ИССЛЕДОВАНИЕ УРАВНЕНИЙ, ОПИСЫВАЮЩИХ КВАЗИОДНОМЕРНОЕ НЕРАВНОВЕСНОЕ ТЕЧЕНИЕ В КАНАЛАХ

А. В. Федоров, В. М. Фомин, Е. П. Чиркашенко

(Новосибирск)

Качественное исследование системы дифференциальных уравнений квазиодномерного неравновесного течения газов в каналах при установившемся режиме позволяет описать возможные типы движения, имеющие место при различном задании образующей канала и кинетического уравнения, описывающего релаксационный процесс. Полезность такого рассмотрения заключается в возможности применения результатов этого анализа при численном решении задач о течении неравновесного газа. Исследование осложняется тем обстоятельством, что физическая модель описывается неавтономной системой уравнений. В [1, 2] приводится метод анализа фазового портрета такого рода систем. Ниже воспользуемся данным способом для решения задачи о течении смеси газа и жидких частиц с учетом неравновесной кристаллизации в каналах переменной площади сечения.

1. Физическая постановка задачи. Сведение к системе, записанной в нормальной форме. Получение характеристического уравнения. Уравнения квазиодномерного течения с учетом одного неравновесного процесса в канале переменной площади сечения имеют вид

$$(1.1) \quad u y = C_1 v, \quad C_1 = u_0 y_0 / v_0, \quad u du + v dv = 0, \quad T dS = -e_\xi d\xi, \\ d\xi = (\kappa/u) dx.$$